

Η ΤΕΚΤΟΝΙΚΗ ΕΞΕΛΙΞΗ ΚΑΙ ΟΙ P-T ΣΥΝΘΗΚΕΣ ΜΕΤΑΜΟΡΦΩΣΗΣ ΤΩΝ «ΚΥΑΝΟΣΧΙΣΤΟΛΙΘΩΝ» ΤΗΣ ΑΝΑΤΟΛΙΚΗΣ ΘΕΣΣΑΛΙΑΣ (ΒΟΡΕΙΑ/ΚΕΝΤΡΙΚΗ ΕΛΛΑΔΑ)

A. Κίλιας*, W. Frisch**, L. Ratschbacher**, και A. Σφέικος**

ΠΕΡΙΛΗΨΗ

Στις οροσειρές των Πιερίων, Ολύμπου και Όσσας, στη βόρεια/κεντρική Ελλάδα, μελετάται η τεκτονική υφή και εξέλιξη της ηφαλοτειούζηματογενούς ενότητας των "κυανοσχιστόλιθων" (Ενότητα Αμπελάκια). Η ενότητα αυτή, πιθανόν αλπικής ηλικίας, αποτελεί το κατώτερο τεκτονικό κάλυμμα από μια σειρά τεκτονικών καλυμμάτων, που τοποθετούνται πάνω στην ανθρακική πλατφόρμα των Ριζωμάτων-Ολύμπου-Όσσας, η-λικίας από το Τριαδικό μέχρι το Ήκαϊνο.

Τρία κύρια πλαστικής παραμόρφωσης γεγονότα, αλπικής ηλικίας, διαμόρφωσαν τη μέχρι το Μελόκαλνο τεκτονική δομή των "κυανοσχιστόλιθων".

- Το πρώτο D_1 -παραμορφωτικό γεγονός, ηλικίας Κρητιδικού έως Ήκαϊνου, έλαβε χώρα συγχρόνως με μια Kr_1 -μεταμόρφωση, σε συνθήκες υψηλής πίεσης-χαμηλής θερμοκρασίας, στο στάδιο εξέλιξης μιας υποβύθισης. Η έννοια της διάταξης, εξακριβώθηκε, το επάνω προς τα ΝΔ.

- Το δεύτερο D_2 -παραμορφωτικό γεγονός, ηλικίας μέσου-άνω Ήκαϊνου, είναι συμμεταμορφικό ως πρός μια δεύτερη $HP/LT-Kr_2$ -μεταμόρφωση. Η D_2 -παραμόρφωση συνδέεται, πιθανόν, με το στάδιο εξέλιξης της δύγκρουσης. Εκδηλώθηκε με κύρια φορά κίνησης προς τα ΝΔ. Στο τελικό στάδιο της D_2 -παραμόρφωσης, κατά το τέλος Ήκαϊνου-αρχές Ολιγοκαίνου, συγχρόνως με μια ανοδική πηερογενετική κίνηση του ορογενούς, εξελίσσεται ένας $BA-NΔ$ διεύθυνσης εφελκυσμός, συμμεταμορφικός ως προς μια χαμηλού έντονου πολύ χαμηλού βαθμού Kr_{2e} -μεταμόρφωση. Στα αρχικά εντούτοις στάδια της Kr_{2e} διατηρείται άκομη η μπλε αρφίβολος.

- Τέλος κατά το Ολιγόκαλνο-αρχές Μελοκαίνου, λαμβάνει χώρα κατά θέσεις, το συμπλεστικό, τρίτο D_3 -παραμορφωτικό γεγονός, σε ακόμη χαμηλότερες P/T-συνθήκες. Φορά κίνησης προς τα ΒΔ και ΝΔ.

Ανάλυση της ποσοτικής παραμόρφωσης, με την RF/Φ- και Fry-μέθοδο, έδωσε "τελική παραμόρφωση", τόσο του τύπου της "αξονικής επιλήκυνσης" κοντά στη γραμμή της επίπεδης παραμόρφωσης, όσο καλ του τύπου της πλάτυνσης.

ABSTRACT

The Ambelakia Nappe forms a volcanosedimentary blueschist sequence of probably Mesozoic age beneath the Pelagonian nappe system. It frames the Olympus and Ossa Windows. The rocks of the Ambelakia Nappe experienced polyphase metamorphism and deformation. The first metamorphic event (crystallization Krl) is due

A.KILIAS - W.FRISCH - L.RATSCHBACHER & A.SFEIKOS. Structural evolution and metamorphism of bleuschists, Ambelakia nappe, eastern Thessaly, Greece.

* Institute of Geology, University, GR-54006 Thessaloniki, Greece.

** Institute of Geology, University, D-7400 Tübingen, F.R. Germany.

to subduction and crustal stacking in an accretionary wedge and dates in the Cretaceous until Eocene times. It was of high-pressure low-temperature type. The accompanying deformation (D1) displays a top to SE displacement.

The second metamorphic event (crystallization Kr2) in the Middle Eocene is also characterized by high-pressure low-temperature conditions. The emplacement of the Ambelakia Nappe and the Pelagonian nappe system over the Mesozoic -Paleocene sequence of the Rizomata, Olympos, Ossa, and Kranea Windows was achieved during this event (D2 - deformation). D2 displacement was top to SW. On the decompressional path of the second metamorphism the rocks experienced extension in NE-SW direction (D2e) in the Late Eocene and Oligocene. D2e was coeval to low-to very low-grade metamorphic transformations (Kr2e). In the initial stage, however, of the Kr2e the blue amphibole remained. Finite strain is mainly of the flattening type.

Brittle-ductile compressional deformation (D3) took place in the Late Oligocene to Early Miocene. Conjugate kink folds and brittle shear zones, open folds, and a spaced foliation were formed.

1. ΕΙΣΑΓΩΓΗ - ΓΕΩΛΟΓΙΚΗ ΔΟΜΗ ΤΗΣ ΠΕΡΙΟΧΗΣ ΜΕΛΕΤΗΣ

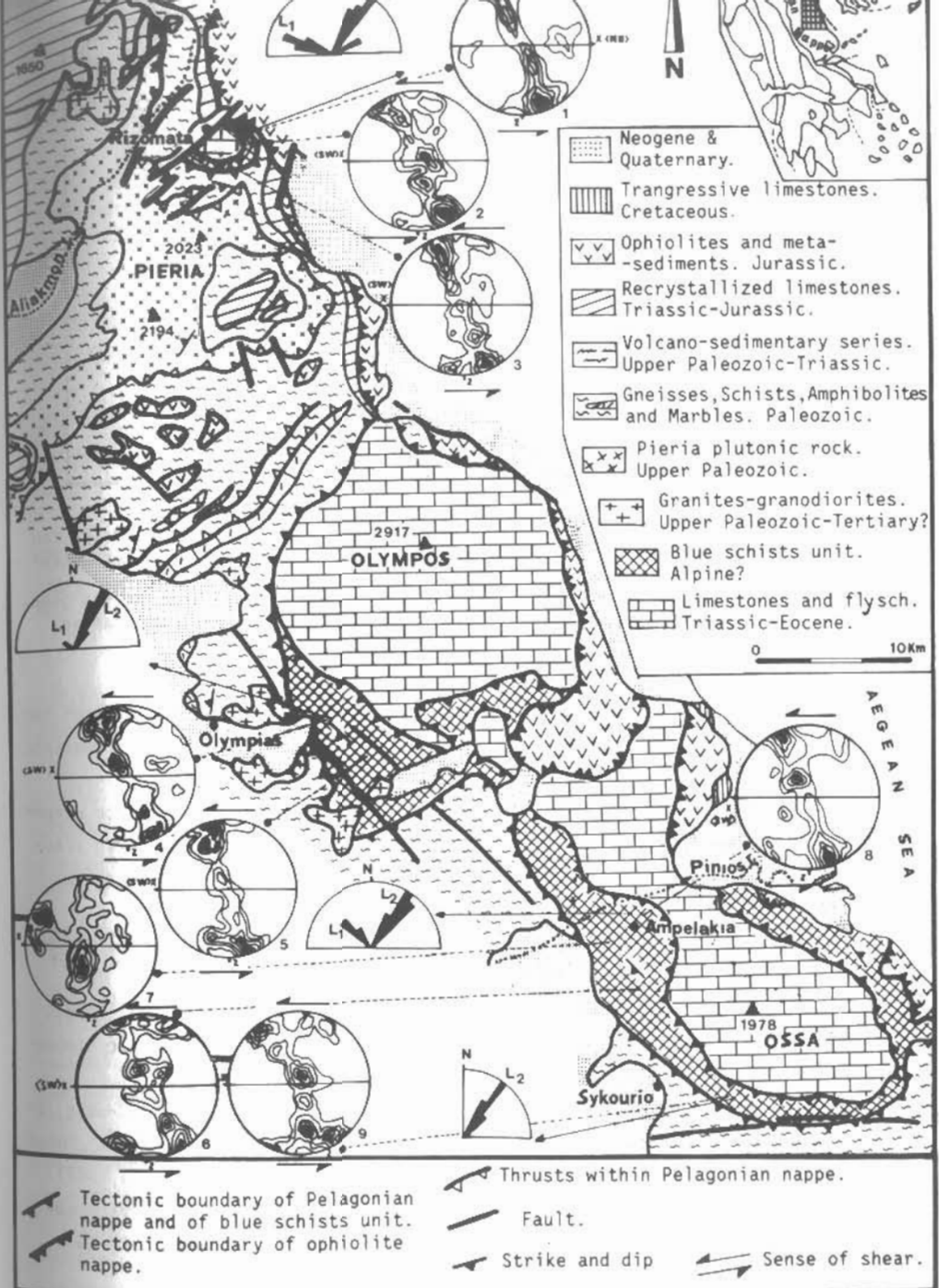
Οι οροσειρές των ΒΑ Πιερίων, Ολύμπου και Όσσας στη βόρεια/κεντρική Ελλάδα, αποτελούν μια περιοχή του Ελληνικού ορογενούς, όπου η αλπικής ηλικίας τεκτονική των καλυμμάτων, εκδηλώνεται με τον πλέον αντιπροσωπευτικό τρόπο (σχ.1,2).

Αλλεπάλληλα τεκτονικά καλύμματα, "Ηωελληνικό κάλυμμα" (JACOBSHAGEN et al. 1976, KILIAS & CHATZIDIMITRIADIS 1985), πελαγονικό κάλυμμα (BARTON 1976, YARWOOD & DIXON 1977, NANCE 1981, KATSIKATSOS et al. 1982, MOUNTRAKIS 1983, PAPANIKOLAOU 1984, KILIAS & MOUNTRAKIS 1987, 1989) και κάλυμμα της "ενότητας των κυανοσχιστόλιθων" (KATSIKATSOS et al. 1982, SCHMITT 1983, MIGIROS 1983) τοποθετούνται το ένα πάνω στο άλλο σε διαφορετικούς χρόνους, από το Ιουρασικό έως το Ηώκαντο και όλα μαζί κατά το τέλος Ηώκαντου, πάνω σε αλπικής ηλικίας ανθρακικά πετρώματα (GODFRIAUX 1968, BARTON 1976, VERGELEY 1984). Τα ανθρακικά αυτά πετρώματα εμφανίζονται σήμερα κατά θέσεις με τη μορφή τεκτονικών παράθυρων (σχ. 1, 2): Τεκτονικό παράθυρο Ολύμπου (GODFRIAUX 1968), τεκτονικό παράθυρο Όσσας (KATSIKATSOS et al. 1982, SCHMITT 1983), τεκτονικό παράθυρο Ριζωμάτων (KILIAS & MOUNTRAKIS 1985).

Στην προσπάθεια ερμηνείας της πολύπλοκης αυτής τεκτονικής δομής, μελετήθηκε το κατώτερο κάλυμμα του τεκτονικού αυτού οικοδομήματος, που χαρακτηρίζεται από την παρουσία ορυκτών HP/LT -μεταμόρφωσης και είναι γνωστό ως "ενότητα Αμπελάκια". Πρόκειται για μια ηφαστειούζηματογενή σειρά, που αποτελείται από μεταβασίτες και μεταζήματα, ο χώρος προέλευσης των οποίων, καθώς και η ηλικία τους δεν έχει διευκρινισθεί ακόμη πλήρως (BARTON 1975, GODFRIAUX & PICHON 1978, 1979, MALUSKI et al. 1981, KATSIKATSOS et al. 1982, MIGIROS 1983, SCHERMER et al. 1988, PINGOT 1988).

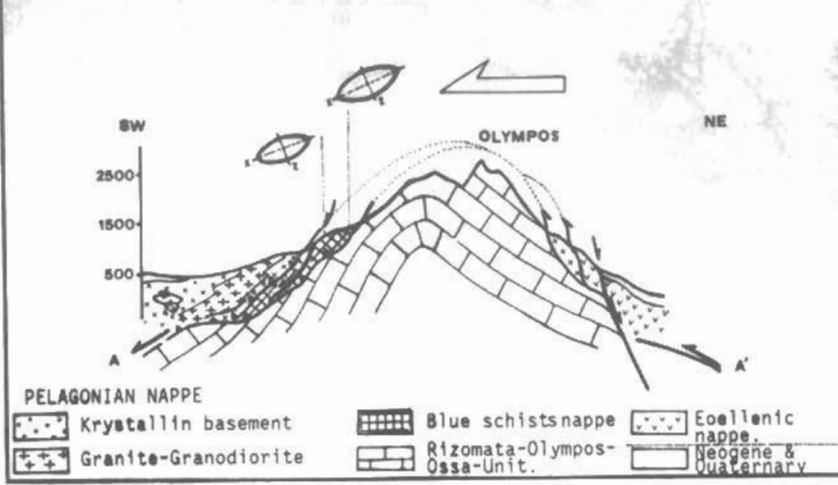
Μέχρι σήμερα έλειπε η λεπτομερελακή ανάλυση υφής και κινηματικής, του τόσο σημαντικού αυτού καλύμματος, που από την τεκτονική του θέση φαίνεται να απο-

Ψηφιακή Βιβλιοθήκη "Θεόφραστος" - Τμήμα Εργαλείας Α.Π.Θ



Σχ.1. Γεωλογικός χάρτης της περιοχής μελέτης (οροσειρές Πιερίων, Ολύμπου και Όσσας). Τοποθετούνται διευθύνσεων των δύο κύριων γραμμώσεων έκτασης (L_1 και L_2). Διαγράμματα C-αξόνων χαλαζία. Εννοιά της διάταξης το επάνω προς τα ΝΔ (ο άξονας z, διευθύνεται προς τα κάτω).

Fig.1. Geological map of the studied area (Pieria, Olympus and Ossa mountains). Direction nosedirections of the two main stretching lineations (L_1 & L_2). Direction nosedirections of the two main stretching lineations (L_1 & L_2).



Σχ. 2. Αντιπροσωπευτική γεωλογική τομή της περιοχής μελέτης, στην οροσειρά του Ολύμπου. Απεικονίζονται δύο ελλειψειδή παραμόρφωσης σε XZ-τομές. Διεύθυνση μέγιστου εφελκυσμού BA-ΝΔ.

Fig.2. Representative geological cross section of the studied area in the Olympus mountain. Two strain ellipses cut in XZ-sections are represented. Direction of maximum extention NW-SE.

τέλεσε μια ζώνη έντονης διάτμησης, μεταξύ των υπόλοιπων τεκτονικών καλυμμάτων της περιοχής μελέτης και της αλπικής ηλικίας αυτόχθονης έως παρααυτόχθονης ανθρακικής πλατφόρμας.

Με βάση τις παρατηρήσεις στο ύπαλθρο, την ανάλυση μικροδομών στο μικροσκόπιο και την ορυκτοχημεία, προσπαθήσαμε να δώσουμε έτσι μια ολοκληρωμένη εικόνα των συνθηκών εξέλιξης, παραμόρφωσης και μεταμόρφωσης της ενότητας αυτής των "κυανοσχιστόλιθων".

Κριτήρια που χρησιμοποιήθηκαν για την εξαγωγή των συμπερασμάτων μας απετέλεσαν:

I. Όλες οι τεκτονικές δομές που μπορούν να αναγνωρισθούν στο ύπαλθρο: Μορφές πτυχών και φορά πτυχών, γραμμώσεις έκτασης, επιφάνειες σχιστότητας, ζώνες διάτμησης.

II. Ανάλυση μικρούψης: Έννοια της φοράς κίνησης της διάτμησης από S-C-υψές, ασυμμετρία σκιών πίεσης γύρω από συμπαγή σώματα, ζώνες διάτμησης, "mica-fisch", "boudinage"-υψές, υψές c-αξόνων χαλαζία (LISTER & SNOOK 1984, COBBOLD & GAPAIS 1987).

III. Ανάλυση της ποσοτικής παραμόρφωσης: Rf/Φ- και Fry-μέθοδος, απεικόνιση των τιμών του ελλειψειδούς παραμόρφωσης στο διάγραμμα Flinn (FLINN 1962, FRY 1979, RAMSAY & HUBER 1983).

IV. Ορυκτοχημεία, υπολογισμός των P-T-συνθηκών μεταμόρφωσης κατά τα διάφορα

2. ΤΕΚΤΟΝΙΚΗ ΔΟΜΗ ΚΑΙ ΚΙΝΗΜΑΤΙΚΗ ΤΩΝ "ΚΥΑΝΟΣΧΙΣΤΟΛΙΘΩΝ"

Τα στοιχεία υφής της πλαστικής παραμόρφωσης αφήνουν να διακρίθουν τρία εξελικτικά παραμορφωτικά γεγονότα, που διαμόρφωσαν την, μέχρι το Μελόκαλν, τεκτονική δομή των "κυανοσχιστόλιθων" (σχ. 3).

2.1. Πρώτο παραμορφωτικό γεγονός (D_1).

Εδώ ανήκει μια, υπολειμματικά μόνο διατηρημένη, S_1 -σχιστότητα, που χαρακτηρίζεται από την ανάπτυξη ορυκτών μιας Kr_1 -μεταμόρφωσης, όπως λευκού μαρμαρύγια ($G1_1$), χλωρίτη (Ch_1) και μπλε αμφιβόλου (Gla_1) (σχ. 3).

Το σύνολο των ορυκτών, που αναφέρθηκαν, διατάσσονται πάνω στις S_1 -επιφάνειες με μια ΒΔ-ΝΑ έως ΔΒΔ-ΑΝΑ διεύθυνση και δημιουργούν μια L_1 -γράμμωση έκτασης (σχ. 1, 3 & 4). Η έννοια της διάτμησης κατά το αρχικό αυτό D_1 -παραμορφωτικό γεγονός, εξακριβώθηκε το επάνω προς τα ΝΑ έως ΑΝΑ.

Διαγράμματα c-αξόνων χαλαζίας έδειξαν μια διασπορά των μετρηθέντων c-αξόνων (σχ. 1 διαγρ. 7), που θα πρέπει να αποδωθεί όμως στην επίδραση των νεότερων παραμορφωτικών γεγονότων.

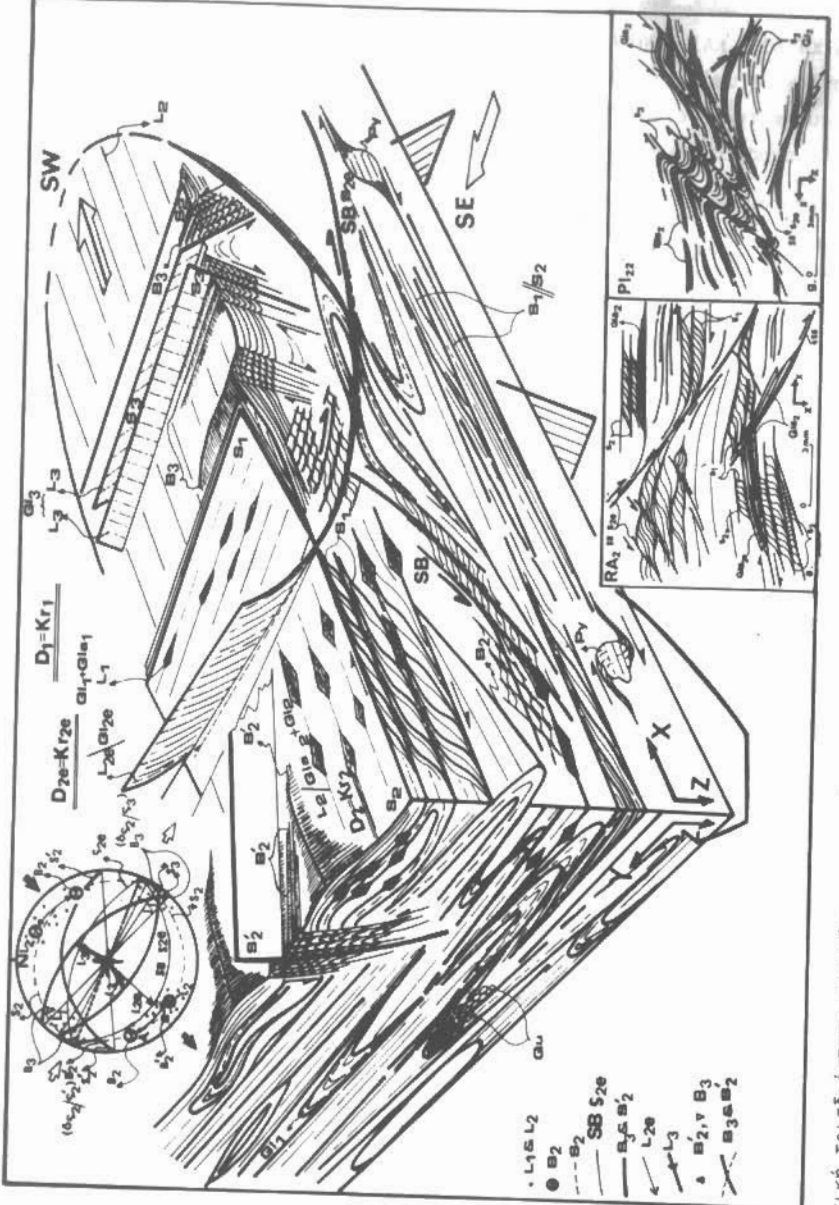
2.2. Δεύτερο παραμορφωτικό γεγονός (D_2).

Αποτελεί το κύριο και κυρίαρχο παραμορφωτικό γεγονός των "κυανοσχιστόλιθων". Χαρακτηρίζεται από τη δημιουργία τυπικών ισοκλινών, introfolial, κατά θέσεις, πτυχών, καθώς και "sheath"-πτυχών (B_2 -πτυχές), που συνδέονται συνήθως με την έντονη πτύχωση της S_1 -σχιστότητας. Παράλληλα προς την αξονική επιφάνεια των ισοκλινών πτυχών αναπτύσσεται μια διαμπερής S_2 -σχιστότητα, που αποτελεί το καθοριστικότερο επιφανειακό στοιχείο των "κυανοσχιστόλιθων", με ΒΔ-ΝΑ ανάπτυξη και διεύθυνση κλίσης προς τα ΝΔ ή προς τα ΒΑ (σχ. 1).

Το σημαντικότερο ίσως τεκτονικό στοιχείο της D_2 -παραμόρφωσης αποτελεί, όμως, μια, ΒΑ-ΝΔ-διεύθυνσης, L_2 -γράμμωση έκτασης, που αποτυπώνεται ευκρινώς πάνω στη S_2 -σχιστότητα και παράλληλα στην οποία διατάσσονται οι B_2 -άξονες των ισοκλινών πτυχών (σχ. 3).

Ορυκτά μιας Kr_2 -μεταμόρφωσης, δημιουργούν την L_2 -γράμμωση έκτασης. Μπλε αμφιβόλος (Gla_2), λευκός μαρμαρυγίας ($G1_2$), χλωρίτης και χαλαζίας (Qu) αποτελούν αντιπροσωπευτικά ορυκτά της κύριας αυτής Kr_2 -μεταμόρφωσης.

Σε XY-τομές διακρίνεται σαφώς η σχέση των δύο Kr_1 - και Kr_2 -μεταμορφικών γεγονότων, ασύμφωνα με την οποία τα ορυκτά της Kr_2 -μεταμόρφωσης προσανατολισμένα στη ΒΑ-ΝΔ διεύθυνση (L_2 -γράμμωση), αναπτύσσονται πάνω από τα ορυκτά της Kr_1 -μεταμόρφωσης, που προσανατολίζονται στη ΒΔ-ΝΑ διεύθυνση (L_1 -γράμμωση). Συχνά επίσης, ορυκτά της Kr_1 -μεταμόρφωσης κάμπτονται και περιστρεφόμενα ακολουθούν τη νεότερη L_2 -γράμμωση έκτασης (σχ. 4a,b,c).



Σχ. 3. Σχηματική τρισδιάστατη απεικόνιση των σχέσεων, του ουγγάλου των τεκτονικών δομών των "κυρνοσχιστόλιθων" με τις αυτότοποις διεύθυνσεις ανάπτυξης τους, καθώς και τη φορά των συνδεσμένων με αυτές, κύριων κλίνησεων (επεξηγήσεις βλέπε κείμενο).

Fig. 3. Schematic block-diagram of the relations of the "blue schists" total tectonic structures with the corresponding directions of their development together with the sense of the main tectonic movement related to them (for details see text).

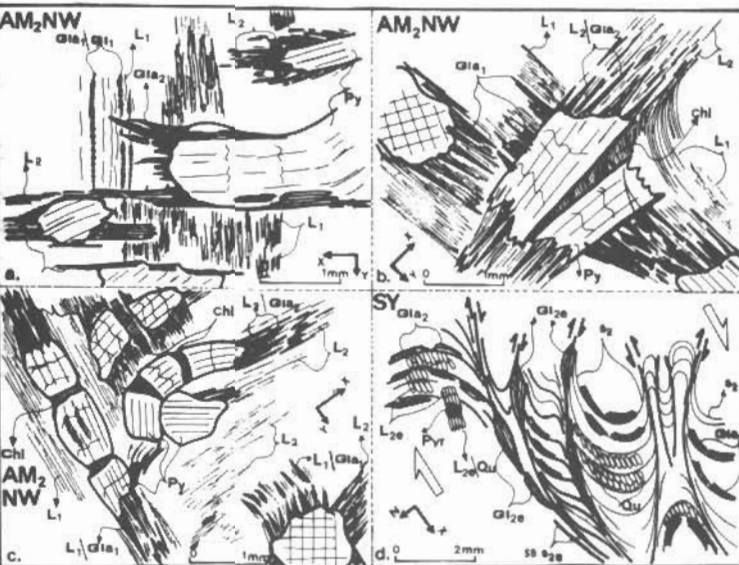
Σε XZ-τομές εξ άλλου αναγνωρίζεται ευκρινώς, ότι τα ορυκτά της Kr₂-μεταμόρφωσης προσανατολισμένα στη S₂-επιφάνειες κόβουν τα ορυκτά της Kr₁-μεταμόρφωσης, που αναπτύσσονται πάνω στις αναστομούμενες από τις S₂, αρχαλότερες S₁-επιφάνειες (σχ. 3).

Οι B₂-ισοκλινείς πτυχές επαναπτυχώνονται ομοαξονικά από ανοικτές έως κλειστές ασύμμετρες B₂-πτυχές κάμψης, γεγονός που θα πρέπει να συνδεθεί με μια συμπλεστική τάση στη διεύθυνση του Y₂-άξονα, εξ αιτίας, κατά θέσεις τουλάχιστον, μιας, "αξονικής επιμήκυνσης-τύπου", παραμόρφωσης (σχ. 3). Σποραδικά εμφανιζόμενες S₂-ζώνες διάτμησης, με ανάστροφη κίνηση προς τα ΝΑ, πιθανόν να ανήκουν, επίσης, στο ίδιο πεδίο τάσεων, σε κάποιο όμως τελικό στάδιο της D₂-παραμόρφωσης (σχ. 3).

Κριτήρια πλαστικής περιστροφικής παραμόρφωσης καθορίζουν κατά τη διάρκεια εξέλιξης της D₂-παραμόρφωσης την έννοια της διάτμησης, το επάνω προς τα ΝΔ.

Χαρακτηριστικούς επίσης δείκτες κλινηματικής απετέλεσαν τα διαγράμματα c-αξόνων χαλαζία (διαγράμματα I-τύπου, σχ. 1). Αυτά σημαδεύουν έτσι με ακρίβεια τη, ΝΔ-φοράς, αυτή κίνηση.

Στα τελευταία στάδια της D₂-παραμόρφωσης σε πλαστικές όμως ακόμη συνθήκες, όπως τουλάχιστον δείχνει μια ΒΑ-ΝΔ επίσης διεύθυνσης, L_{2e}-γράμμωση έκτασης, από πλαστικά παραμορφωμένο χαλαζία, νήματα από χαλαζία σε σκλές πίεσης κρυ-



Σχ. 4. Σχέσεις μεταξύ των L₁-L₂ & L_{2e}-γραμμώσεων έκτασης και των κύριων ορυκτών που τις διαγράφουν. Κατά σειρά ηλικίας ταξινομούνται L₁, L₂ & L_{2e}. Παρατήρηση στο μικροσκόπιο. (Επεξηγήσεις βλέπε κείμενο).

Fig. 4. Relations between L₁-L₂-L_{2e}-stretching lineations and the main minerals by which they are composed. With increasing age they are classified L₁, L₂, L_{2e} (see text for details).

στάλων πυρίτη, λευκό μαρμαρύγια ($G1_{2e}$), χλωρίτη, στιλπνομέλανα και κατά τόπους μπλε αμφίβολο (Kr_{2e} -μεταμόρφωση, σχ. 3, 4d), λαμβάνει χώρα ένας εφελκυσμός.

Ο εφελκυσμός αυτός γίνεται αντιληπτός από την έντονη παρουσία, συνήθως συζυγών συστημάτων εφελκυστικών διαταρτικών ζώνων (S_{2e} -επιφάνειες σχιστότητας), πάνω στις οποίες προσανατολίζονται τα ορυκτά της Kr_{2e} -μεταμόρφωσης.

Δυτικά των ανθρακικών παράθυρων των Ριζωμάτων-Ολύμπου-Οσσας, επικρατούν κυρίως συστήματα από S_{2e} -διαταρτικές ζώνες με ανεπτυγμένη τη ΝΔ διεύθυνση κλίσης. Αντίθετα ανατολικά των παράθυρων αναπτύσσονται, με επικρατούσα τη ΒΑ-διεύθυνση κλίσης και υποτονισμένη τη ΝΔ διεύθυνση κλίσης.

2.3. Τρίτο παραμορφωτικό γεγονός (D_3).

Συγχρόνως, με το τελευταίο D_{2e} -στάδιο της D_2 -παραμόρφωσης, ή αποτέλεσμα κάποιου σχετικά νεότερου γεγονότος, όπως τουλάχιστον φανερώνει μια ρυτίδωση των S_2 - και S_{2e} -επιφανειών σχιστότητας (σχ. 3), λαμβάνει χώρα σε καθορισμένες ζώνες μια ΒΑ-ΝΔ διεύθυνσης, συμπίεση.

Εκδήλωση αυτού του D_3 -γεγονοτος αποτελεί μια σειρά από ασύμμετρες, συνήθως συζυγείς B_3 -γωνιώδεις πτυχές, ανοικτές πτυχές κάμψης και ζώνες-γωνιάσματος με ΒΔ-ΝΔ διεύθυνση ανάπτυξης, καθώς και ζώνες διάτμησης με ανάστροφη συνιστώσα κίνησης. Μάυτές συνδέεται η δημιουργία μιας S_3 -σχιστότητας, κατά θέσεις επίσης σε συζυγή ζεύγη και διεύθυνση κλίσης προς τη ΝΔ και/ή ΒΑ (σχ. 3).

Από την τομή των S_2 - και S_3 -επιφανειών σχιστότητας προκύπτει μια ιδιαίτερη έντονη $\delta_{(S_2/S_3)}$ -γράμμωση διατομής, με ΒΔ-ΝΔ διεύθυνση ανάπτυξης, ανάλογης δηλαδή των B_3 -πτυχών (σχ. 3).

Σε ελάχιστες μόνο περιπτώσεις, πάνω στις S_3 -επιφάνειες σχιστότητας παρατηρήθηκε μια ΒΑ-ΝΔ διεύθυνσης L_3 -ορυκτολογική γράμμωση από λευκό μαρμαρύγια, χλωρίτη και επιμηκυσμένο χαλαζία (σχ. 3). Τις περισσότερες φορές δεν φαίνεται να συνδέεται κάποια καινούργια ορυκτογένεση, με το D_3 -παραμορφωτικό γεγονός. Αυτό θα πρέπει να έλαβε χώρα έτσι, σ'ένα περιβάλλον με χαμηλές P-T-συνθήκες.

Μεταπτωτικά συζυγή ρήγματα, κυρίως σε συνθήκες εύθραυστης τεκτονικής, κατά τη διάρκεια επίσης, κατακόρυφων κινήσεων μαζών, με κύρια ΒΔ-ΝΔ ανάπτυξη, ακολουθούν ως κυρίαρχες τεκτονικές δομές τη D_3 -παραμόρφωση, επηρεάζοντας σε μεγάλο βαθμό τις προϋπάρχουσες δομές.

3. ΣΤΟΙΧΕΙΑ ΠΟΣΟΤΙΚΗΣ ΠΑΡΑΜΟΡΦΩΣΗΣ ΤΩΝ "ΚΥΑΝΟΣΧΙΣΤΟΛΙΘΩΝ"

Κατά τον υπολογισμό του ελλειψοειδούς παραμόρφωσης οι D_{2e} - και D_3 -παραμορφώσεις δεν ελήφθησαν υπόψη, αφού βέβαια, κατά θέσεις τουλάχιστον, έχουν επηρεάσει σε σημαντικό βαθμό, το αποτέλεσμα της κυριαρχης D_2 -παραμόρφωσης.

Εάν αφαιρέσουμε λοιπόν τα επί μέρους D_{2e} - και D_3 -ελλειψοειδή παραμόρφωσης, η ανάλυση της ποσοτικής παραμόρφωσης αναφέρεται στο τελικό ελλειψοειδές παραμόρφωσης, που προέκυψε από την επανατοποθέτηση ενός αρχαιότερου D_1 -ελλειψοειδούς



Σχ. 5. Τελικά ελλειψοειδή παραμόρφωσης σε XY-τομές και απεικόνιση τους στο διάγραμμα Flinn ($Z=1$). Τα βέλη δείχνουν την έννοια της κίνησης, κατά τα δύο κύρια D_1 - και D_2 -παραμορφωτικά γεγονότα. (Συμβολισμοί βλέπε σχ. 1, το κρυσταλλοσχιστώδες υπόβαθρο του Πελαγονικού καλύμματος λαμβάνεται εδώ αδιαίρετο).

Fig.5. XY finite strain ellipses and their redpresentation in the Flinn diagram ($Z=1$). The arrows indicate the sense of movement during the main D_1 & D_2 deformational events (For symbolizations see fig. 1, the crystalline basement of the Pelagonian zone is consindered here as idivisible).

παραμόρφωσης, από το κύριο και ως εντονότερο εμφανιζόμενο σήμερα D_2 -παραμορφωτικό γεγονός.

Το τελικό ελλειψοειδές παραμόρφωσης, που καθορίστηκε, προσανατολίζεται έτσι, με τον X-μέγιστο άξονα εφελκυσμού του, περίπου παράλληλα στη L_2 -γράμμωση έκτασης και το YX-επίπεδό του, σχεδόν ταυτόσημο με το S_2 -επίπεδο σχιστότητας (σχ. 5, $X > Y > Z$ κύριοι άξονες του τελικού ελλειψοειδούς παραμόρφωσης).

Σε μια μόνο περίπτωση (σχ. 5, AM_2) τοποθετήθηκε με τον X-άξονα του μέγιστου εφελκυσμού κάθετα στη L_2 -γράμμωση. Στο συγκεκριμένο δείγμα όμως, είναι το ίδιο εμφανής με τη L_2 -γράμμωση και η ΒΔ-ΝΔ διεύθυνσης, L_1 -γράμμωση έκτασης.

Για τον λόγο αυτόν πιστεύουμε ότι το συγκεκριμένο ελλειψοειδές παραμόρφωσης, αποτελεί ένα μεταβατικό στάδιο μεταξύ του παλιού D_1 -ελλειψοειδούς παραμό-

στάλλων πυρίτη, λευκό μαρμαρυγία (Gt_{2e}), χλωρίτη, στιλπνομέλανα και κατά τόπους μπλε αμφίβολο (Krf_{2e}-μεταμόρφωση, σχ. 3, 4d), λαμβάνει χώρα ένας εφελκυσμός.

Ο εφελκυσμός αυτός γίνεται αντιληπτός από την έντονη παρουσία, συνήθως συζυγών συστημάτων εφελκυστικών διαταμητικών ζώνων (S_{2e}-επιφάνειες σχιστότητας), πάνω στις οποίες προσανατολίζονται τα ορυκτά της Krf_{2e}-μεταμόρφωσης.

Διτικά των ανθρακικών παράθυρων των Ριζωμάτων-Ολύμπου-Οσσας, επικρατούν κυρίως συστήματα από S_{2e}-διαταμητικές ζώνες με ανεπιγυμένη τη ΝΔ διεύθυνση κλίσης. Αντίθετα ανατολικά των παράθυρων αναπτύσσονται, με επικρατούσα τη ΒΔ-διεύθυνση κλίσης και υποτονισμένη τη ΝΔ διεύθυνση κλίσης.

2.3. Τρίτο παραμορφωτικό γεγονός (D₃).

Συγχρόνως, με το τελευταίο D_{2e}-στάδιο της D₂-παραμόρφωσης, ή αποτέλεσμα κάποιου σχετικά νεότερου γεγονότος, όπως τουλάχιστον φανερώνει μια ρυτίδωση των S₂- και S_{2e}-επιφανειών σχιστότητας (σχ. 3), λαμβάνει χώρα σε καθορισμένες ζώνες μια BA-ΝΔ διεύθυνσης, συμπίεση.

Εκδήλωση αυτού του D₃-γεγονοτος αποτελεί μια σειρά από ασύμμετρες, συνήθως συζυγείς B₃-γωνιώδεις πτυχές, ανοικτές πτυχές κάμψης και ζώνες-γωνιώδηματος με ΒΔ-ΝΔ διεύθυνση ανάπτυξης, καθώς και ζώνες διάτημησης με ανάστροφη συνιστώσα κίνησης. Μάυτές συνδέεται η δημιουργία μιας S₃-σχιστότητας, κατά θέσεις επίσης σε συζυγή ζεύγη και διεύθυνση κλίσης προς τα ΝΔ και/ή ΒΑ (σχ. 3).

Από την τομή των S₂- και S₃-επιφανειών σχιστότητας προκύπτει μια ιδιαίτερη έντονη διατομή (s₂/s₃)-γράμμωση διατομής, με ΒΔ-ΝΔ διεύθυνση ανάπτυξης, ανάλογης δηλαδή των B₃-πτυχών (σχ. 3).

Σε ελάχιστες μόνο περιπτώσεις, πάνω στις S₃-επιφάνειες σχιστότητας παρατηρήθηκε μια ΒΔ-ΝΔ διεύθυνσης L₃-ορυκτολογική γράμμωση από λευκό μαρμαρυγία, χλωρίτη και επιμηκυσμένο χαλαζία (σχ. 3). Τις περισσότερες φορές δεν φαίνεται να συνδέεται κάποια κανούργια ορυκτογένεση, με το D₃-παραμορφωτικό γεγονός. Αυτό θα πρέπει να έλαβε χώρα έτσι, σ'ένα περιβάλλον με χαμηλές P-T-συνθήκες.

Μεταπτωτικά συζυγή ρήγματα, κυρίως σε συνθήκες εύθραυστης τεκτονικής, κατά τη διάρκεια επίσης, κατακόρυφων κινήσεων μαζών, με κύρια ΒΔ-ΝΔ ανάπτυξη, ακολουθούν ως κυρίαρχες τεκτονικές δομές τη D₃-παραμόρφωση, επηρεάζοντας σε μεγάλο βαθμό τις προϋπάρχουσες δομές.

3. ΣΤΟΙΧΕΙΑ ΠΟΣΟΤΙΚΗΣ ΠΑΡΑΜΟΡΦΩΣΗΣ ΤΩΝ "ΚΥΑΝΟΣΧΙΣΤΟΛΙΘΩΝ"

Κατά τον υπολογισμό του ελλειψειδούς παραμόρφωσης οι D_{2e}- και D₃-παραμόρφωσεις δεν ελήφθησαν υπόψη, αφού βέβαια, κατά θέσεις τουλάχιστον, έχουν επηρεάσει σε σημαντικό βαθμό, το αποτέλεσμα της κυρίαρχης D₂-παραμόρφωσης.

Εάν αφαιρέσουμε λοιπόν τα επί μέρους D_{2e}- και D₃-ελλειψειδή παραμόρφωσης, η ανάλυση της ποσοτικής παραμόρφωσης αναφέρεται στο τελικό ελλειψειδές παραμόρφωσης, που προέκυψε από την επανατοποθέτηση ενός αρχαιότερου D₁-ελλειψειδούς



Σχ. 5. Τελικά ελλειψειδή παραμόρφωσης σε XY-τομές και απεικόνιση τους στο διάγραμμα Flinn (Z=1). Τα βέλη δείχνουν την έννοια της κίνησης, κατά τα δύο κύρια D₁- και D₂-παραμορφωτικά γεγονότα. (Συμβολισμοί βλέπε σχ. 1, το κρυσταλλοσχιστώδες υπόβαθρο του Πελαγονικού καλύμματος λαμβάνεται εδώ αδιαίρετο).

Fig.5. XY finite strain ellipses and their representation in the Flinn diagram (Z=1). The arrows indicate the sense of movement during the main D₁ & D₂ (Z=1). The deformational events (For symbolizations see fig. 1, the crystalline basement of the Pelagonian zone is considered here as idivisible).

παραμόρφωσης, από το κύριο και ως εντονότερο εμφανιζόμενο σήμερα D₂-παραμορφωτικό γεγονός.

Το τελικό ελλειψειδές παραμόρφωσης, που καθορίστηκε, προσανατολίζεται έτσι, με τον X-μέγιστο όξονα εφελκυσμού του, περίπου παράλληλα στη L₂-γράμμωση έκτασης και το YX-επίπεδό του, σχεδόν ταυτόσημο με το S₂-επίπεδο σχιστότητας (σχ. 5, X > Y > Z κύριοι άξονες του τελικού ελλειψειδούς παραμόρφωσης).

Σε μια μόνο περίπτωση (σχ. 5, AM₂) τοποθετήθηκε με τον X-άξονα του μέγιστου εφελκυσμού κάθετα στη L₂-γράμμωση. Στο συγκεκριμένο δείγμα όμως, είναι τόσο εμφανής με τη L₂-γράμμωση και η ΒΔ-ΝΔ διεύθυνσης, L₁-γράμμωση έκτασης.

Για τον λόγο αυτόν πιστεύουμε ότι το συγκεκριμένο ελλειψειδές παραμόρφωσης, αποτελεί ένα μεταβατικό στάδιο μεταξύ του παλιού D₁-ελλειψειδούς παραμό-

φωσης και του τελικού ελλειψειδούς παραμόρφωσης, στο οποίο διατηρήθηκε κατά κάποιο τρόπο η προϋπάρχουσα υφή.

Μια τέτοια τοποθέτηση έτσι, ενός ελλειψειδούς παραμόρφωσης, εντοχεύει την ύπαρχη μιας παλιότερης της D_2 -παραμόρφωσης, κατά τη διάρκεια δράσης της οποίας λειτούργησε ένα διαφορετικό καθεστώς τάσεων, ανάλογο της D_1 -τεκτονικής.

Για τον υπολογισμό του R_s του τελικού ελλειψειδούς παραμόρφωσης χρησιμοποιήθηκαν οι Rf/Φ - και Fry -μέθοδοι.

Ως δείκτες παραμόρφωσης χρησιμοποιήθηκαν κατά την εφαρμογή της Rf/Φ -μεθόδου, γλαυκοφαντιτικά μενού κλάστες πυροξένων μεταβασιτών, γλαυκοφαντιτικά μενού κλάστες πράσινων αμφιβόλων μαρμαρυγιακών-αμφιβολιτικών σχιστόλιθων και κλάστες αλκαλιούχων αστρίων μαρμαρυγιακών σχιστογεύσιων, ενώ κατά την εφαρμογή της Fry -μεθόδου, κόκκοι χαλαζία μαρμαρυγιακών χαλαζιτών.

Τα αποτελέσματα αυτής, των τριών διαστάσεων ποσοτικής ανάλυσης της παραμόρφωσης δίνονται στον πίν. I.

Πίνακας I. Στοιχεία ανάλυσης ποσοτικής παραμόρφωσης των κυανοσχιστόλιθων. (Επεξηγήσεις στο κείμενο).

| Δείγμα | X | Y | Z | X/Y | Y/Z | Z/Y | K | D | ε_1 | ε_2 | ε_3 | $\bar{\varepsilon}_1$ | $\bar{\varepsilon}_2$ | $\bar{\varepsilon}_3$ | ε_s |
|--------|------|------|---|------|------|------|------|------|-----------------|-----------------|-----------------|-----------------------|-----------------------|-----------------------|-----------------|
| SY | 2,48 | 1,4 | 1 | 1,77 | 1,41 | 0,71 | 1,43 | 1,51 | 0,64 | -0,07 | -0,34 | 0,49 | -0,08 | -0,41 | 0,67 |
| Pi22 | 1,98 | 1,76 | 1 | 1,13 | 1,76 | 0,57 | 0,36 | 1,52 | 0,31 | 0,16 | -0,34 | 0,26 | 0,15 | -0,41 | 0,62 |
| AM3 | 2,19 | 1,7 | 1 | 1,29 | 1,69 | 0,59 | 0,58 | 1,55 | 0,41 | 0,09 | -0,35 | 0,34 | 0,08 | -0,43 | 0,56 |
| K3 | 2,51 | 2,18 | 1 | 1,15 | 2,19 | 0,46 | 0,28 | 1,76 | 0,43 | 0,24 | -0,43 | 0,36 | 0,22 | -0,56 | 0,70 |
| AM2 | 1,98 | 1,84 | 1 | 1,07 | 1,84 | 0,54 | 0,14 | 1,54 | 0,28 | 0,19 | -0,36 | 0,24 | 0,17 | -0,45 | 0,48 |

Για την εξακρίβωση του είδους της παραμόρφωσης έγινε προβολή των στολχείων στο διάγραμμα Flinn (FLINN 1962).

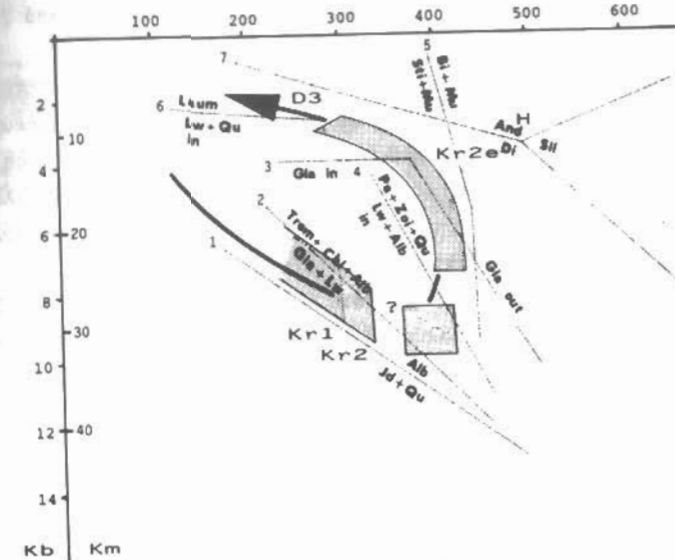
Όπως φαίνεται και στο σχ. 5, ένα δείγμα έδειξε μια παραμόρφωση στο "αξονικής επιμήκυνσης"-πεδίο κοντά στη γραμμή της επίπεδης παραμόρφωσης. Τα υπόλοιπα δείγματα έδωσαν ελλειψειδή παραμόρφωσης, που βρίσκονται στο πεδίο της πλάτυνσης.

4. P-T-ΣΥΝΘΗΚΕΣ ΜΕΤΑΜΟΡΦΩΣΗΣ - ΟΡΥΚΤΟΧΗΜΕΙΑ.

Το (διο πολύπλοκη με την τεκτονική εξέλιξη είναι και η εξέλιξη των P-T-συνθηκών μεταμόρφωσης της ενότητας των "κυανοσχιστόλιθων".

Σε ανalogία με τα παραμορφωτικά γεγονότα διακρίθηκαν τρεις κυρίως μεταμορφώσεις (Kr_1 , Kr_2 , Kr_{2e}), συντεκτονικές ως προς τις αντίστοιχες D_1 , D_2 και D_{2e} παραμορφώσεις.

4.1. Kr_1 -μεταμόρφωση.



Σχ. 6. Σχηματική πορεία των P-T συνθηκών μεταμόρφωσης των "κυανοσχιστόλιθων" κατά τα στάδια εξέλιξης της αλπικής υποβύθους, σύγκρουσης και ανόδου του αλπικού ορογενούς, στο χώρο μελέτης. (H) Al_2SiO_5 -τριπλό σημείο κατά HOLDWAY (1971). Καμπύλες ισορροπίας: 1. HOLLAND (1980), 2. PERCHUK & ARANOVICH (1980), 3. MARESCH (1977), 4. HEINRICH & ALTHAUS (1980), 5. NITSCH (1970), 6. LIOU (1977).

Fig. 6. Schematic path of the P-T metamorphic conditions of the "blue schists" during the evolution of the alpine subduction, collision and uplift of the alpine orogeny in the studied area. (H) Al_2SiO_5 -Triple point according to HOLDWAY (1971) and equilibrium curves: 1. HOLLAND (1980), 2. PERCHUK & ARANOVICH (1980), 3. MARESCH (1977), 4. HEINRICH & ALTHAUS (1980), 5. NITSCH (1970), 6. LIOU (1977).

Η συν- D_1 - Kr_1 -μεταμόρφωση αναπτύχθηκε κυρίως σε HP/LT-συνθήκες. Αυτό συνάγεται από τη συν- S_1 ανάπτυξη χαρακτηριστικών ορυκτολογικών παραγενέσεων και το συνδυασμό τους με το ορυκτογενετικό δίκτυο του σχ. 6, καθώς και την ορυκτοχημεία πυροξένων των μεταβασιτών και αμφιβόλων (σχ. 7).

Κριτική παραγένεση, συνδεδεμένη με τούς μεταπελίτες ή μεταβασίτες της ενότητας των "κυανοσχιστόλιθων", απετέλεσε έτσι η P_1 -παραγένεση που αποτελείται από: μπλε αμφιβόλο + χαλαζία + αλβίτη + χλωρίτη + επίδοτο + μοσχοβίτη + λωσωνίτη.

Η συν- S_1 ανάπτυξη της μπλε αμφιβόλου (Gla) με τον λωσωνίτη (Lw) φανερώνει ότι ξεπεράσθηκαν οι P-T-συνθήκες που καθορίζονται από την καμπύλη ισορροπίας 2, Lw + Gla vs. Chl + Trem + Alb (σχ. 6). Αντίθετα η απουσία λαδεύτικου πυρόξενου (Jd) με τη διατήρηση του αλβίτη (Alb) στην P_1 -παραγένεση δηλώνει ότι P-T-συνθήκες θα πρέπει να διατηρήθηκαν κάτω από τις συνθήκες της καμπύλης ισορροπίας 1, Jd + Q vs. Alb (σχ. 6). Καθορίζεται έτσι ένα πεδίο αντιδράσεων για την Kr_1 -μεταμόρφωση μεταξύ των καμπυλών ισορροπίας 1 και 2 του σχ. 6. Ο χώρος που προκύπτει

αντιστοίχει σε συνθήκες πύεσης και θερμοκρασίας, που κυμαίνονται από 7-11 Kb και 300° C - 400° C αντιστοιχά.

Η ορυκτοχημεία των μπλε αμφίβολων (Gla_1) έδωσε τις περισσότερες φορές σύσταση ανάλογη του Βιντσίτη (σχ. 7d'). Σε δύο μόνο περιπτώσεις προέκυψε σύσταση κροσσίτη (σχ. 7e), με περιεκτικότητα όμως σε NaM_4 πολύ λίγο μεγαλύτερη από 1,34.

Η ορυκτοχημεία αναλλοίωτων τμημάτων, συνήθως πυρήνων, των γλαυκοφανιτελμένων πυρόξενων, έδειξε σε κάθε περίπτωση, ότι πρόκειται για πυρόξενους, βασικού, υποσλακαλικού χαρακτήρα μάγματος, της σύστασης του αυγίτη (σχ. 7a, c). Οι F_1 και F_2 τιμές των πυρόξενων, προβλήθηκαν στο αντιστοιχο διάγραμμα των NISBET & PEARCE (1977), στα πεδία των βασαλτών νησιώτικου τόξου και βασαλτών νησιώτικου τόξου /ωκεάνιων βασαλτών (σχ. 7b).

4.2. Kr_2 -μεταμόρφωση.

Πρόκειται για την κυρίαρχη συν- D_2 -μεταμόρφωση. Η S_2 -σχιστότητα συνδέεται σχεδόν πάντα με την ανάπτυξη συν- S_2 ορυκτών του γλαυκοφανή, τόσο στα μεταϊζήματα, όσο και στους μεταβασίτες.

Η αντιπροσωπευτική παραγένεση της Kr_2 -μεταμόρφωσης είναι:

Μπλε αμφίβολος + αλβίτης + χαλαζίας + χλωρίτης + μοσχοβίτης + επίδοτο ± λωσωνίτης.

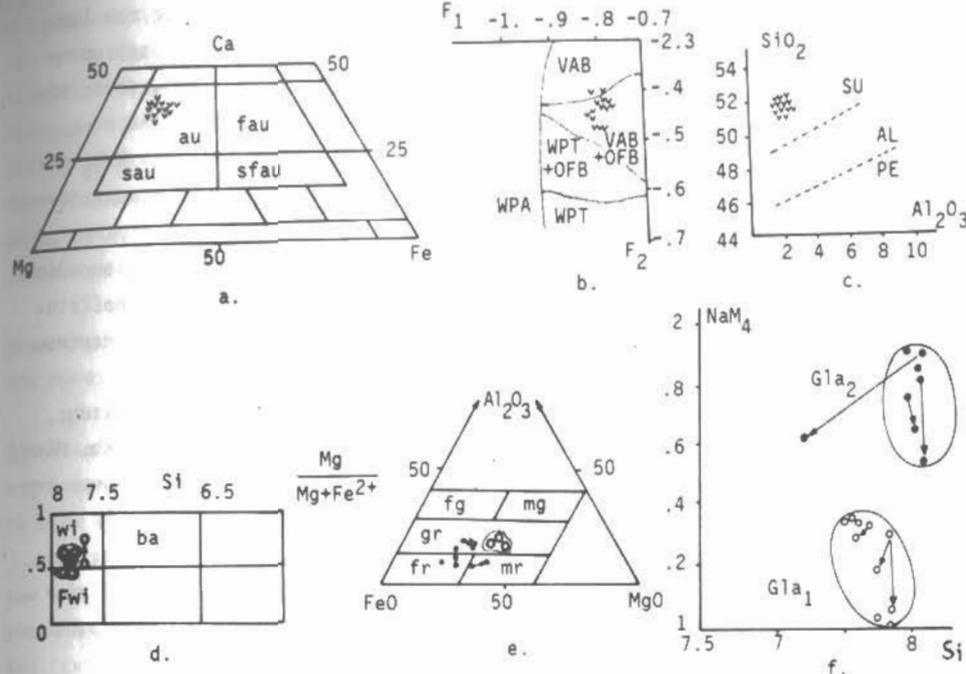
Χημικές αναλύσεις σε μπλε αμφίβολους (Gla_2) έδειξαν υψηλό ποσοστό συμμετοχής $NaM_4 > 1,34$ στη σύστασή τους, έτσι ώστε στο διάγραμμα $FeO/Al_2O_3/MgO$ (MIYASHIRO 1957) να προβάλλονται στα πεδία των κροσσίτη και ρεμπεκίτη, αποτελώντας συγχρόνως μια ομάδα διαφορετικής σύστασης μπλε αμφίβολων, από αυτή της Kr_1 -μεταμόρφωσης (σχ. 7e).

Στο διάγραμμα, εξ άλλου, NaM_4/MgO , προβάλλονται σ'ένα εντελώς ξεχωριστό πεδίο, από αυτό των μπλε αμφιβόλων (Gla_1) της αρχικής HP/LT-μεταμόρφωσης (σχ. 7f).

Η Kr_2 -παραγένεση φανερώνει σαφώς μια HP/LT-μεταμόρφωση σε συνθήκες της γλαυκοφανιτελμένης-λωσωνιτικής φάσης. Οι P-T-συνθήκες διατηρήθηκαν συνεπώς κατά την Kr_2 -μεταμόρφωση σε ανάλογες τιμές με αυτές του D_1 -γεγονότος. Το πεδίο σταθερότητας εν τούτοις της Kr_2 -μεταμόρφωσης, θα πρέπει να έφτασε κατά την εξέλιξη της D_2 -τεκτονικής μέχρι τις P-T-συνθήκες της καμπύλης Ισορροπίας 4 (σχ. 6), που οριοθετεί τις περιοχές εμφάνισης ή όχι του λωσωνίτη. Το γενονός αυτό φανερώνει τουλάχιστον η στενή σχέση της D_2 -παραμόρφωσης με το συμμεταμορφικό εφελκυστικό D_{2e} -παραμορφωτικό επεισόδιο. Αυτό αποτέλεσε, όπως τονίσθηκε, το αμέως επόμενο εξελικτικό στάδιο της καλυμματικής τεκτονικής. Κατά το στάδιο αυτό της έκτασης του ορογενούς, η παραγένεση $Glay+Law$ δεν παραμένει ακόμη σταθερά (καμπύλη 2, σχ. 6), ενώ ο λωσωνίτης απουσιάζει εντελώς καλ δεν σχηματίζεται στις νέες συνθήκες της Kr_{2e} -μεταμόρφωσης (καμπύλη 4, σχ. 6).

4.3. Kr_{2e} -μεταμόρφωση.

Θα πρέπει να θεωρηθεί κατά κάποιο τρόπο το εξελικτικό ψηφιακή Βιβλιοθήκη "Θεόφραστος" - Τμήμα Γεωλογίας. Α.Π.Θ.



Σχ. 7. a. Ταξινόμηση των πυρόξενων των μεταβασιτών (POLDERVAART & HESS 1951), b. Προβολή των F_1 και F_2 τιμών πυρόξενων των μεταβασιτών, για την εξακρίβωση του γεωτεκτονικού περιβάλλοντος σχηματισμού τους (NISBET & PEARCE 1977), c. Προβολή πυροξένων στο διάγραμμα SiO_2/Al_2O_3 (LE BAS 1962), d. Σύσταση των μπλε αμφιβόλων (o) των συνδεδεμένων με την D_1 -παραμόρφωση (Gla_1) (LEAKE 1978), e. Σύσταση των μπλε αμφιβόλων (●) των συνδεδεμένων με την D_2 -παραμόρφωση (Gla_2) και σε μια περίπτωση του Gla_1 (MIYASHIRO 1957), f. Προβολή των μπλε αμφιβόλων στο διάγραμμα NaM_4/Si (Gla_1 & Gla_2). Τα μέλη συνδέουν πυρήνα και περιφέρεια του ίδιου κρυστάλλου.

Fig.7. a. Classification of the metabasites pyroxens (POLDERVAART & HESS 1951), b. Projection of the F_1 , F_2 values of the metabasites pyroxes for the ascertainment of the geotectonic environment of their creation (NISBET & PEARCE 1977), c. Projection of the pyroxenes in the SiO_2/Al_2O_3 diagram (LE BAS 1962), d. Composition of the related with the D_1 -deformation (Gla_1) blue amphiboles (o) (LEAKE 1978), e. Composition of the related with the D_2 -deformation (Gla_2), and in one case with Gla_1 , blue amphiboles (●) (MIYASHIRO 1957), f. Projection of the blue amphiboles in the NaM_4/Si diagram (Gla_1 & Gla_2). The arrows connect the core with the periphery of the same crystal.

Kr_2 -μεταμόρφωσης, αφού αποτελεί ένα συμμαρμοφτικό γεγονός, με τις, στενά συνδεδεμένες με τη D_2 -παραμόρφωση, εφελκυστικές D_{2e} -διατηρητικές ζώνες (S_{2e} -σχιστότητα, σχ. 3, 4d).

Μεταμορφικής φάσης κριτική παραγένεση αποτελεί η συν- S_{2e} -παραγένεση των μεταϊζημάτων και μεταβασιτών με: αλβίτη + χαλαζία + χλωρίτη + λευκό μαρμαρυγία ± στιλπνομέλανα. Οι P-T-συνθήκες, κατά το αρχικό, τουλάχιστον, στάδιο του εφελκυ-

στικού αυτού D_{2e} -γεγονότος, διατηρήθηκαν έξω από το πεδίο σταθερότητας του λωσωνίτη, που ορίζει η καμπύλη ισορροπίας 4 (σχ. 6), μέσα όμως στο πεδίο σταθερότητας του γλαυκοφανή, που οριθετεί η καμπύλη ισορροπίας 3 (σχ. 6). Το γεγονός αυτό φανερώνει, η τοποθέτηση και η διατήρηση της μπλε αμφιβόλου, παράλληλα στις S_{2e} -επιφάνειες σχιστότητας, καθώς και η εξαφάνιση του λωσωνίτη κατά την Kr_{2e} -μεταμόρφωση. Αυτός μετατρέπεται εξ ολοκλήρου σε σερικίτη, έτσι ώστε να παρατηρούνται ψευδομορφώσεις μόνο λωσωνίτη.

Η συνύπαρξη στιλπνομέλανα (Sti) + λευκού μαρμαρυγά (Mu) και η απουσία του βιοτίτη, καθορίζουν το ανώτερο όριο των συνθηκών θερμοκρασίας. Αυτό ορίζεται από την καμπύλη ισορροπίας 5 του σχ. 6, Sti+Mu vs. Bi+Mu και αντιστοιχεί περίπου στους 400° έως 420° C.

Στη θερμοκρασία αυτή των 400° C, αντιστοιχεί ένα ανώτερο όριο πίεσης, με σταθερό τον γλαυκοφανή και σύγχρονη απουσία λωσωνίτη, περίπου στα 8-9 Kb. Πίεση που σημαδεύει έτσι και το ανώτερο δυνατό όριο P-συνθηκών, κατά το ξεκίνημα της έκτασης του ορογενούς (σχ. 6).

Το γεγονός αυτό δείχνει βέβαια, ότι κατά το αρχικό στάδιο του εφελκυστικού D_{2e} -γεγονότος, οι συνθήκες πίεσης θα πρέπει να διατηρήθηκαν σχετικά υψηλές και σημαδεύουν το ανώτερο όριο, κατά το πέρασμα της συν- D_2 Kr_2 -μεταμόρφωσης στη συν- D_{2e} Kr_{2e} -μεταμόρφωση (σχ. 6).

Οι αρχικές αυτές P-T-συνθήκες, κατά την εξέλιξη του D_{2e} -γεγονότος, θα πρέπει να ακολούθησαν μια φθίνουσα πορεία προς χαμηλότερες τιμές, παράλληλα σε γενικές γραμμές με την καμπύλη ισορροπίας-3 του γλαυκοφανή (σχ. 6). Αυτό δείχνει τουλάχιστον, η σταδιακή εξαφάνιση της μπλε αμφιβόλου και η συνέχιση της τεκτονικής διεργασίας κατά το συμπιεστικό D_3 -γεγονός χωρίς κάποια νέα ορυκτογένεση (σχ. 6).

Οι συνθήκες θερμοκρασίας δεν πρέπει να έπεσαν εν τούτοις, χαμηλότερα από τους 300° C, αφού σ'όλο το γεγονός διατηρείται η δυναμική ανακρυστάλλωση του χαλαζία, που ως γνωστόν, η χαμηλότερη θερμοκρασία ανακρυστάλλωσης του τοποθετείται στους 270° C (WINKLER 1979).

5. ΗΛΙΚΙΑ ΤΩΝ ΠΑΡΑΜΟΡΦΩΤΙΚΩΝ ΓΕΓΟΝΟΤΩΝ.

Η τοποθέτηση του συνόλου των τεκτονικών καλυμμάτων της περιοχής μελέτης, με την ενότητα των "κυανοσχιστόλιθων" στη βάση τους, πάνω στον μέσο-άνω ηωκαλνικής ηλικίας φλύση (GODFRIAUX, 1968, KATSIKATSOS et al. 1982, SCHMITT 1983) της ανθρακικής πλατφόρμας των Ριζωμάτων-Ολύμπου-Όσσας, αποτελεί ένα σημαντικό στολχείο αναφοράς, για τη χρονολόγηση της τεκτονικής εξέλιξης των "κυανοσχιστόλιθων".

Η BA-ΝΔ διεύθυνσης κύρια L_2 -γράμμωση έκτασης των "κυανοσχιστόλιθων" πάνω στη S_2 -σχιστότητα, περνάει και αποτυπώνεται το ίδιο έντονα και στον ηωκαλνικής ηλικίας αυτόν φλύση. Η παρουσία της D_2 -παραμόρφωσης στον φλύση του Ολύμπου περιγράφεται επίσης και από τον DOUTSO (1984). Εκτός αυτού, η επιφάνεια επώθησης και

η S_2 -επιφάνεια σχιστότητας αναπτύσσονται παράλληλα έως υπόπαραλληλικές ιεραρχίες, καθώς και η ΝΔ φορά κίνηση, της περιστροφικής αυτής D_2 -παραμόρφωσης, διατηρείται εκατέρωθεν των ανθρακικών παράθυρων. K/Ar, και $^{39}Ar/^{40}Ar$ ισοτοπικές αναλύσεις χρονολογούν εξ άλλου, μπλε αμφιβόλους στο μέσο-άνω Ηώκαλνο, 45 έως 50 εκ. χρόνια (DIXON 1968, ALTHERR et al. 1982, SCHLIESTEDT et al. 1987, SCHERMER et al. 1988).

Φαίνεται λοιπόν ότι η συμμεταμορφική ως προς HP/LT-συνθήκες D_2 -παραμόρφωσης και τα συνοδά με αυτή τεκτονικά γεγονότα, έλαβαν χώρα το αργότερο μέχρι το άνω Ηώκαλνο.

Η D_2 -παραμόρφωση πρόκειται έτσι, για το κύριο τεκτονικό γεγονός στη διάρκεια εξέλιξης του οποίου, ολοκληρώθηκε η τοποθέτηση κατά το μέσο-άνω Ηώκαλνο της ενότητας των "κυανοσχιστόλιθων", μαζί με τα υπόλοιπα τεκτονικά καλύμματα, πάνω στην ανθρακική ενότητα των Ριζωμάτων-Ολύμπου-Όσσας.

Η D_{2e} -παραμόρφωση, που συνδυάθηκε με μια έντονη έκταση της ενότητας κυανοσχιστόλιθων, σε πλαστικές ακόμη συνθήκες, καθώς και η συν- D_{2e} Kr_{2e} -μεταμόρφωση, χρονολογούνται συνεπώς, μετά το άνω Ηώκαλνο και λίγο μετά την τοποθέτηση των τεκτονικών καλυμμάτων. Φαίνεται, πολύ πιθανόν, να συνδέεται με την αναθόλωση και την προς τα πάνω ηπειρογενετική κίνηση του ορογενούς.

Πράγματι οι BARTON 1975, SCHERMER et al. 1988, σε Rb/Sr- και $^{39}Ar/^{40}Ar$ -ραδιοχρονολογήσεις λευκών μαρμαρυγών υπολόγισαν ηλικία κρυστάλλωσης τους 35-39 εκ. χρόνια.

Περίπου συγχρόνως, ή λίγο μεταγενέστερα από τη D_{2e} -τεκτονική, δηλαδή κατά το Ολιγόκαλνο ή και αρχές Μελοκαίνου, πραγματοποιήθηκε κατά τόπους, η συμπιεστική D_3 -παραμόρφωση, σε ακόμη πιο ψυχρές P/T-συνθήκες, ανάλογες μιας εύθραυσης τεκτονικής.

Η D_1 -παραμόρφωση, ως το αρχαιότερο τεκτονικό γεγονός, που αναγνωρίσθηκε στην ενότητα των "κυανοσχιστόλιθων", αποτελεί σαφώς, μαζί με τα συνοδά της φαινόμενα, καθώς και τη συν- D_1 Kr_1 -κρυστάλλωση, μια προμεσοηκαλνικής ηλικίας, παραμόρφωση.

Η κινηματική αυτή διεργασία αν και εντελώς υπολειμματική σήμερα, στην περιοχή μελέτης, από την έντονη δράση της κυριαρχησ D_2 -παραμόρφωσης, θα πρέπει να συνδέθει με το κύριο τεκτονικό γεγονός, που εξελίχθηκε πριν την έναρξη της τοποθέτησης των "κυανοσχιστόλιθων" πάνω στην ανθρακική πλατφόρμα των Ριζωμάτων-Ολύμπου-Όσσας. Αυτό το D_1 -γεγονός, θα μπορούσε έτσι να θεωρηθεί, ότι είναι ηλικίας κρητιδικής έως ηωκαλνικής, αφού το πρώτο αλπικό τεκτοορογενετικό υπολόγιστο διάστημα διαρρέει στην περιοχή μεταξύ της Κρήτης και της Ιονίου θάλασσας (MOYNTRAKIS 1983, VERGELY 1984).

Ισοτοπικές αναλύσεις μαρμαρυγών σε ζώνες διάτημησης του κρυσταλλοσχεδίους του πελαγονικού καλύμματος, έδωσαν ηλικία σχηματισμού τους κατά το κάτω μέσο Κρητιδικό (BARTON 1975, YARWOOD & DIXON 1977, SCHERMER et al. 1988). Γεγονός που φανερώνει πράγματι τη δράση μιας σημαντικής τεκτονικής κατά την περίοδο αυτής της αλπικής ορογένεσης.

Αλλά και στην περιοχή της Νότιας Εύβοιας, $^{39}\text{Ar}/^{40}\text{Ar}$ -ραδιοχρονολογήσεις αλκαλιαμφιβόλων, από τους MALUSKI et al. (1981), δίνουν μια ηλικία σχηματισμού τους, κατά το κάτω Κρητιδικό.

6. ΣΥΖΗΤΗΣΗ - ΣΥΜΠΕΡΑΣΜΑΤΑ.

Η ανάλυση της υψής της ηφαίστειοϊζηματογενούς ενότητας των "κυανοσχιστόλιθων", στη βόρεια/κεντρική Ελλάδα, έδειξε ότι αυτή αποτελεί ένα πολυμεταμορφωμένο και αλλεπάλληλα τεκτονισμένο σύστημα πετρωμάτων.

Διακρίθηκαν έτσι τρία κύρια αλπικής ηλικίας τεκτονικά γεγονότα (D_1 , D_2 και D_3), από τα οποία τα δύο πρώτα συμμεταμορφικά.

Η τελική παραμόρφωση εξακριβώθηκε, ως αξονικής επιμήκυνσης-τύπου κοντά στη γραμμή της επίπεδης παραμόρφωσης, με K-, D-τιμές 1,43 και 1,51 αντίστοιχα, καθώς και ως πλάτυνσης-τύπου, με μέσο όρο K-, D-τιμών, 0,34 και 1,60 αντίστοιχα.

Για να ερμηνεύσουμε την κατανομή αυτή των μεταμορφικών φάσεων και παραμορφωτικών γεγονότων θεωρούμε ότι το πρωταρχικό D_1 -παραμορφωτικό γεγονός συνδέθηκε με την εξέλιξη μιας ζώνης βύθισης κατά τη χρονική περίοδο Κρητιδικού-Ηγαίνου.

Στο στάδιο αυτό της υποβύθισης και της λεπίωσης του φλοιού στη σφήνα-επαύξησης, τυήματα του φλοιού μεταφέρθηκαν και βυθίστηκαν σε σημαντικό βάθος, με αποτέλεσμα τη σταδιακή επίδραση, κατά θέσεις τουλάχιστον της πρώτης HP/LT-μεταμόρφωσης και τη δημιουργία της αρχικής μπλε αμφιβόλου (Gla_1) με τον λωσωνίτη.

Κατά το στάδιο της σύγκρουσης, αρχίζει η αντίστροφη προς τα πάνω πορεία των βυθισμένων τμημάτων του φλοιού (μέλη της ενότητας των "κυανοσχιστόλιθων") και η έναρξη της τοποθέτησής τους στον περίπου συγχρόνως αποτιθέμενο ηγαίνικής ηλικίας φλύση, μπροστά στο μέτωπο της εφιππεύουσας πλάκας.

Η κίνηση αυτή συνδυάσθηκε με τη D_2 -παραμόρφωση και τη δεύτερη HP/LT-μεταμόρφωση, αφού ακόμη η όλη τεκτονική διεργασία λαμβάνει χώρα σε σημαντικό βάθος και τυήματα του φλύση καλύπτονται σταδιακά από ένα σημαντικό πάχος τεκτονικών καλυμμάτων.

Συγχρόνως με την αντίστροφη αυτή προς τα πάνω πορεία των τμημάτων των "κυανοσχιστόλιθων", μεταβάλλεται η κινηματική εικόνα της ενότητας των "κυανοσχιστόλιθων", σε μια κινηση με φορά από τα BA προς τα ND.

Η μετατροπή αυτή του κινηματικού πεδίου των "κυανοσχιστόλιθων", κατά την περίοδο του μέσου-άνω Ηγαίνου, πιθανόν να αποδωθεί στην περιστροφική κίνηση των πλακών ή ακόμη πιθανόν σε μια έντονη αξονικής επιμήκυνσης παραμόρφωση (συμπί-

εση στον Y_1).

Στο τελικό στάδιο της D_2 -παραμόρφωσης, μετά το Ηγαίνο, όταν είχε σχεδόν ολοκληρωθεί η τοποθέτηση των "κυανοσχιστόλιθων" πάνω στον ηγαίνικό φλύση και ενώ οι P-T-συνθήκες άρχισαν να πέφτουν, συγχρόνως με μια, σχετικά γρήγορου ρυθμού, ανοδική ηπειρογενετική κίνηση, λαμβάνει χώρα η D_{2e} -παραμόρφωση με BA-ΝΔ-διεύθυνση εφελκυσμού, σε πλαστικές ακόμη συνθήκες της Kt_{2e} -μεταμόρφωσης. Προκαλείται έτσι το αντίστοιχο προς τα νοτιοδυτικά και βορειοανατολικά άπλωμα των "κυανοσχιστόλιθων", αποτέλεσμα μιας βαρυτικής ολίσθησης και ροής του ορογενούς.

Τέλος, συγχρόνως ή λίγο μετά την D_{2e} -παραμόρφωση, κατά το Ολιγόκαλνο-Μελόκαλνο κλείνει ο κύκλος της προνεογενούς παραμορφωτικής εξέλιξης των "κυανοσχιστόλιθων", με το συμπλεστικό D_3 -παραμορφωτικό γεγονός. Αυτό εξελίχθηκε σε ακόμη ψυχρότερες P-T-συνθήκες, αφού ήδη το ορογενές θα πρέπει να είχε ανυψωθεί αρκετά, μετά τη συσσώρευση των καλυμμάτων.

Επακολούθησε η νεοτεκτονική ρηξιγενής τεκτονική του χώρου μελέτης, κυρίως σε συνθήκες εύθραυσης τεκτονικής, με την ανάπτυξη μεταπτωτικών συζυγών ρηγμάτων, που κατακερματίζουν, μετατοπίζοντας τις προϋπάρχουσες πλαστικές δομές.

ΒΙΒΛΙΟΓΡΑΦΙΑ

- ALTHERR, R., KREUZER, H., WENDT, I., LENTZ, H., WAGNER, G., KELLER, J., HARRE, W. & HONDORF, A. (1982). A late Oligocene/Early Miocene High Temperature belt in the Attic-Cycladic Crystalline Complex.- *Geol. Jb.* E23, 97-164.
- BARTON, M. (1975). Mount Olympus, a study in thrust belt tectonics.- *Ph. D. Thesis, Univ. Cambridge*, 285 p.
- BROWN, H. (1977). The crossite content of Ca-amphibole as a guide to pressure of metamorphism.- *J. Petrol.*, 18, 53-72.
- COBBOLD, P. & GAPAIS, D. (1987). Shear criteria in rocks: an introductory review. *J. Struct. Geol.*, 9, 521-523.
- DIXON, J. (1968). The glaucophane schists of Syros.- *Ph. D. Thesis, Univ. Cambridge*, 100 p.
- DOUTSOS, TH. (1984). Structural Analysis of central Hellenic nappes.- *N. Jb. Geol. Paläont. Abh.*, 168, 1-22.
- FLINN, D. (1962). On folding during three-dimensional progressive deformation.- *Geol. Soc. Lond.*, 118, 385-443.
- FRY, N. (1979). Random point distribution and strain measurement in rocks.- *Tectonophysics*, 60, 89-105.
- GODFRIAUX, J. (1968). Étude géologique de la région de l'Olympe (Grèce).- *Ann. Geol. Pays Hellén.*, 19, 1-280.
- GODFRIAUX, J. & PICHON, F. (1978). Sur quelques assèmblages mineralogiques dans les metabasaltes d'Ampelakia et de Kalipefki (Unité tectonique de l'Ossa, Grèce).- *Vie R.A.S.T.*, 187-192.
- GODFRIAUX, J. & PICHON, F. (1979). Sur l'importance des événements tectoniques et métamorphiques d'âge tertiaire en Thessalie septentrionale (Olympe-Ossa-Flambouron).- *Ann. Soc. geol. Nord*, XCIX, 367-376.
- HEINRICH, W. & ALTHAUS, E. (1980). Die obere stabilitätsgrenze von Lawsonit plus Albite bz.w. Jadeit.- *Fortschr. 58B Beih.*, 1, 44-50.
- HOLDAWAY, M. (1971). Stability of andalusite and the aluminium silicate phase diagram.- *Am. J. Sci.*, 271, 97-131.
- HOLLAND, T. (1980). The reaction albite = jadeite + quartz determined experimentally in the range 600°-1200°.- *Am. Mineral.*, 65, 129-134.

- JACOBSHAGEN, V., RISCH, H. & ROEDER, D. (1976). Die Eohellenische Phase. Definition und Interpretation.- *Z. dt. geol. Ges.*, 127, 133-145.
- JOHANNES, W. & PUHAN, D. (1971). The calcite-aragonite transition reinvestigated. - *Contrib. Mineral. Petrol.*, 31, 28-38.
- KATSIKATSOS, G., MIGIROS, G. & VIDAKIS, M. (1982). La structure géologique de la région de la Thessalie orientale (Grèce).- *Ann. Soc. geol. Nord*, CI, 177-188.
- KILIAS, A. & CHATZIDIMITRIADIS, E. (1985). Die präneogene tektonische Entwicklung der Kalkphyllit-Metabasit-Serie am NE-Rand des Pieria-Gebirges (N. Griechenland).- *Z. dt. geol. Ges.*, 136, 195-206.
- KILIAS, A. & MOUNTRAKIS, D. (1985). Des "Rizomata Fenster" im nordöstlichen Pieria-Gebirge. Neue Daten zur geologischen Grenze der Pelagonischen und der Axios-Zone in Griechenland.- *N.Jb. Geol. Palaont. Mh.*, 1985 (4), 248-256.
- KILIAS, A. & MOUNTRAKIS, D. (1987). Zum tektonischen Bau der Zentral-Pelagonischen Zone. (Kamvounia-Gebirge, N. Griechenland).- *Z. dt. geol. Ges.*, 138, 211-237.
- KILIAS, A. & MOUNTRAKIS, D. (1989). Altersbeziehungen zwischen Tektonik, Metamorphose und magmatischer Tätigkeit im zentralen Teil der Pelagonischen Zone (Antichasia Gebirge).- *Ann. Geol. Pays Hell.*, 39 (in press).
- LEAKE, B. (1978). Nomenclature of amphiboles.- *Min. Mag.*, 42, 533-563.
- LE BAS, M. (1962). The role of aluminium in igneous clinopyroxenes with relation to their parentage.- *Am. J. Sci.*, 260, 267-288.
- LIOU, S. (1977). P-T stabilités of laumontite, wairakite, lawsonite and related minerals in the system CaAl₂SiO₈ - SiO₂ - H₂O.- *J. Petrol.*, 12, 379-411.
- LISTER, G. & SNOKE, A. (1984). S-C Mylonites.- *J. Struct. Geol.*, 6, 617-638.
- MALUSKI, H., VERGELY, P., BAVAY, D.P. & KATSIKATSOS, G. (1981). ³⁹Ar/⁴⁰Ar dating of glaucophanes and phengites in Southern Euboa (Greece), geodynamic implications.- *Bull. Soc. geol. France*, 23, 469-476.
- MARESCH, W. (1977). Experimental studies on glaucophane: an analysis of present Knowledge.- *Tectonophysics*, 43, 105-125.
- MIGIROS, G. (1983). Geologische Untersuchung des Kato-Olympos-Gebietes in Thessalien.- *Diss. Univ. Patrai*, 214 p.
- MIYASHIRO, A. (1957). The chemistry, optics, and genesis of the alkali-amphiboles.- *Tokyo Univ. Fac. Sci. Journ.*, 11, 57-83.
- MOUNTRAKIS, D. (1983). Structural geology of the North Pelagonian zone s.l. and geotectonic evolution of the Internal Hellenides (Macedonia, Greece).- *Habil. Schr. Univ. Thessaloniki*, 289 p.
- NANCE, D. (1981). Tectonic history of a segment of the Pelagonian zone, North-eastern Greece.- *Can. J. Earth Sci.*, 18, 1111-1126.
- NISBET, G. & PEARCE, A. (1977). Clinopyroxene composition in mafic lavas from different tectonic settings.- *Contrib. Mineral. Petrol.*, 63, 149-160.
- NITSCH, K. (1970). Experimentelle Bestimmung der oberen Stabilitätsgrenze von Stilpnomelan.- *Fortschr. Mineral.*, 47, 48-50.
- PAPANIKOLAOU, D. (1980). Contribution to the geology of Aegean Sea. The island of Paros.- *Ann. Geol. Pays Hell.*, 30, 65-96.
- PAPANIKOLAOU, D. (1984). The three metamorphic belts of the Hellenides: a review and a kinematic interpretation.- In J. DIXON and A. ROBERTSON (ed.) "The geological evolution of the eastern Mediterranean", *Geol. Soc. London spec. Pub.*, 17, 551-561.
- PAPANIKOLAOU, D. (1987). Tectonic evolution of the Cycladic blueschist belt (Aegean Sea, Greece).- *Helgeson (ed.), Chemical Transport in Metasomatic Processes*, 389-428.
- PERCHUK, L. & ARANOVICH, L. (1980). The Thermodynamic Regime of metamorphism in the ancient subduction zones.- *Contrib. Mineral. Petrol.*, 75, 407-414.
- PINGOT, J.L. (1988). Parageneses métamorphiques et géochimie des "schistes bleus" du Bas-Olympe et de l'Ossa (Thessalie, Grèce).- *Ph. D. Thesis, University Catholique d' Louvain*.
- POLDERVERAART, A. & HESS, H. (1951). Pyroxenes in the crystallization of basaltic magmas.- *J. Geol.*, 59, 472-489.
- RAMSAY, G. & HUBER, I. (1983). The techniques of modern structural geology. 1, strain analysis.- Academic press Inc., 307 p.
- RIDLEY, J. (1982). Tectonic style, strain history and fabric development in a blueschist terrain, Syros, (Greece).- *Ph. D. Thesis, Univ. Edinburgh*, 283 p.
- SCHLIEDSTEDT, M., ALTHERR, R. & MATTHEUS, A. (1987). Evolution of the Cycladic crystalline complex: Petrology, isotope geochemistry and geochronology.- *H.C. Helgeson (ed.), Chemical Transport in Metasomatic Processes*, 389-428.
- SCHMITT, A. (1983). Nouvelles contributions à l'étude géologique des Pieria de l'Olymp et de l'Ossa (Greece du Nord).- *These Doctorat Univ. Mons*, 400 p.
- SCHERMER, E., LUX, D. & BURCHFIELD, B. (1988). Age and tectonic significance of metamorphic events in the Mt. Olympos region (Greece).- *4th Congress of the Geol. Soc. of Greece, Athens*, 3-15.
- VERGELY, P. (1984). Tectonique des ophiolites dans le Hellenides internes. Conséquences sur l'évolution des régions Tethysiennes occidentales.- *These Doct. d'Etat, Paris/Sud*, 650 p.
- WINKLER, F. (1979). Petrogenesis of metamorphic rocks.- Springer Verlag, 348 p.
- YARWOOD, G. & DIXON, J. (1977). Lower Cretaceous and younger thrusting in the pelagonian rocks of the high Pieria, Greece.- *VII Coll. Geol. Aegean region, Athen*, 269-280.